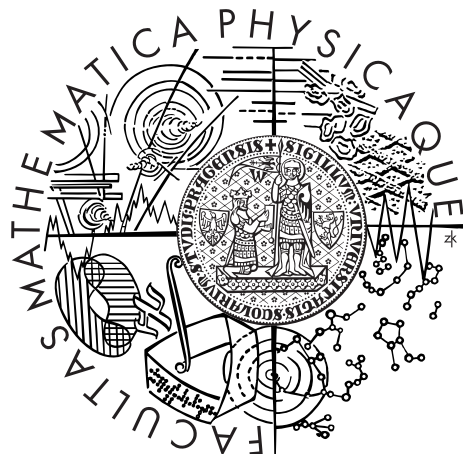


Univerzita Karlova v Praze
Matematicko-fyzikální fakulta

BAKALÁŘSKÁ PRÁCE



Bohuš Nemčovič

Odhady v Markovských řetězcích se spojitým časem

Katedra pravděpodobnosti a matematické statistiky

Vedoucí bakalářské práce: RNDr. Michaela Prokešová, Ph.D.

Studijní program: Matematika

Studijní odbor: Finanční matematika

Praha 2014

V prvom rade by som chcel pod'akovat' vedúcej mojej bakalárskej práce RNDr. Michaele Prokešovej, Ph.D. za všetkú jej pomoc, cenné rady a poskytnuté materiály.

Ďalej by som chcel pod'akovat' RNDr. Jakubovi Staněkovi, Ph.D., ktorý mi veľmi ochotne pomáhal s bakalárskou prácou.

Taktiež d'akujem doc. RNDr. Janovi Hurtovi, CSc. za pomoc s programovaním v Mathematice.

V neposlednom rade d'akujem svojim rodičom za možnosť študovať a za podporu počas celého štúdia.

Prohlašuji, že jsem tuto bakalářskou práci vypracoval samostatně a výhradně s použitím citovaných pramenů, literatury a dalších odborných zdrojů.

Beru na vědomí, že se na moji práci vztahují práva a povinnosti vyplývající ze zákona č. 121/2000 Sb., autorského zákona v platném znění, zejména skutečnost, že Univerzita Karlova v Praze má právo na uzavření licenční smlouvy o užití této práce jako školního díla podle §60 odst. 1 autorského zákona.

V dne

Podpis autora

Název práce: Odhad v Markovských řetězcích se spojitým časem

Autor: Bohuš Nemčovič

Katedra: Katedra pravděpodobnosti a matematické statistiky

Vedoucí bakalářské práce: RNDr. Michaela Prokešová, Ph.D., Katedra pravděpodobnosti a matematické statistiky

Abstrakt: V této práci se zabýváme odhadováním matic intenzit spojitéch Markovských řetězců, v případě, že máme k dispozici úplné pozorování jeho trajektorie a v případě, že pozorujeme řetězec pouze ve vybraných diskrétních časech. Pro získání odhadu používáme metodu maximální věrohodnosti. Ve druhé kapitole nejprve představíme obecný EM algoritmus a následně ho upravíme na hledání odhadu matice intenzity na základě pozorování řetězce v jednotlivých diskrétních časech. V poslední kapitole ukážeme EM algoritmus na numerických příkladech a budeme ilustrovat vliv velikosti diskretizačného kroku na kvalitu odhadu matice intenzity.

Klíčová slova: Markovské řetězce, matice intenzity, metoda maximální věrohodnosti, EM algoritmus

Title: Estimation in continuous time Markov chains

Author: Bohuš Nemčovič

Department: Department of Probability and Mathematical Statistics

Supervisor: RNDr. Michaela Prokešová, Ph.D., Department of Probability and Mathematical Statistics

Abstract: In this work we deal with estimating the intensity matrices of continuous Markov chains in the case of complete observation and observation at selected discrete time points. To obtain an estimate we use the maximum likelihood method. In the second chapter we first introduce the general EM algorithm and then adjust it for finding the intensity matrix estimate based on observations at discrete time points. In the last chapter we will illustrate the impact of the discrete step size on the quality of intensity matrix estimate.

Keywords: Markov chains, intensity matrix, maximum likelihood estimation, EM algorithm

Názov práce: Odhady v Markovských reťazcoch so spojitým časom

Autor: Bohuš Nemčovič

Katedra: Katedra pravděpodobnosti a matematické statistiky

Vedúci bakalárskej práce: RNDr. Michaela Prokešová, Ph.D., Katedra pravděpodobnosti a matematické statistiky

Abstrakt: V tejto práci sa zaoberáme odhadovaním matíc intenzít spojitých Markovských reťazcov v prípade, že máme k dispozícii úplné pozorovanie jeho trajektórie a v prípade, že pozorujeme reťazec iba vo vybraných diskrétnych časoch. Na získanie odhadu používame metódu maximálnej viero-hodnosti. V druhej kapitole najprv predstavíme všeobecný EM algoritmus a následne ho upravíme na hľadanie odhadu matice intenzity na základe pozorovania reťazca v jednotlivých diskrétnych časoch. V poslednej kapitole ukážeme EM algoritmus na numerických príkladoch a budeme ilustrovať vplyv veľkosti diskretizačného kroku na kvalitu odhadu matice intenzity.

Klúčové slová: Markovské reťazce, matice intenzity, metóda maximálnej viero-hodnosti, EM algoritmus

Obsah

Použité značenie	2
Úvod	3
1 Odhady matice intenzity	5
1.1 Maximálne vierochnodný odhad matice intenzity pri úplnom pozorovaní	5
1.2 Maximálne vierochnodný odhad matice intenzity pri pozorovaní v diskrétnych časových bodech	7
2 EM algoritmus	10
2.1 O algoritme	10
2.2 Aplikácia algoritmu na hľadanie odhadu matice intenzity	11
2.3 Implementácia	13
3 Numerické príklady použitia EM algoritmu	15
3.1 Príklad 1	15
3.2 Príklad 2	19
3.3 Príklad 3	22
3.4 Zhrnutie a záver	25
Literatúra	26
Zoznam obrázkov	27
Zoznam tabuliek	28

Použité značenie

S	Množina všetkých stavov Markovského reťazca
\mathcal{Q}	Množina všetkých matíc intenzít
\mathcal{P}	Množina všetkých matíc prechodu
$\{X_t, t \geq 0\}$	Spojity Markovský reťazec
$\{X_{t_k}\}_{k=1}^n$	Markovský reťazec s diskrétnym časom
p_{ij}	Pravdepodobnosť prechodu zo stavu i do stavu j po jednom kroku
q_{ij}	Intenzita prechodu zo stavu i do stavu j
$\hat{\theta}_{MLE}$	Maximálne vierohodný odhad parametra θ
$N_{ij}(t)$	Počet prechodov zo stavu i do stavu j v časovom intervale $[0, t]$
$R_i(t)$	Čas strávený v stave i v časovom intervale $[0, t]$
L_τ^c	Vierohodnostná funkcia pre spojity Markovský reťazec do času τ
L_n	Vierohodnostná funkcia pre diskrétny Markovský reťazec do času n
$K_{ij}(n)$	Pozorovaný počet prechodov zo stavu i do stavu j v diskrétnom Markovskom reťazci $\{X_{t_1}, \dots, X_{t_n}\}$ do času n
Θ	Parametrický priestor

Úvod

Markovské reťazce majú využitie ako nástroj na modelovanie rôznych procesov, používajú sa na opis fyzikálnych udalostí, modelovanie vo finančnej sfére alebo napríklad aj v medicíne. V našej práci sa zaobráme prevažne homogénymi spojitymi Markovskými reťazcami. Spojitý Markovský reťazec definujeme podľa skript [1].

Definícia 1. *Systém celočíselných náhodných veličín $\{X_t, t \geq 0\}$ definovaných na pravdepodobnosnom priestore (Ω, \mathcal{A}, P) sa nazýva Markovský reťazec so spojitým časom a spočítateľnou množinou stavov S , keď*

$$P(X_t = j | X_s = i, X_{t_n} = i_n, \dots, X_{t_1} = i_1) = P(X_t = j | X_s = i) \quad (1)$$

pre všetky $i, j, i_1, \dots, i_n \in S$ a pre všetky $0 \leq t_1 < t_2 < \dots < t_n < s < t$, pre ktoré $P(X_s = i, X_{t_n} = i_n, \dots, X_{t_1} = i_1) > 0$.

Spojité markovské reťazce podobne ako u diskrétnych reťazcov splňujú markovskú vlastnosť, čo znamená, že to ako sa reťazec chová v čase $t + 1$ záleží čisto na stave, v ktorom sa reťazec nachádza v čase t a nie na sledu udalostí, ktoré ho predchádzali. Spojité Markovské reťazce sú často definované maticou intenzity. Definujme celkovú intenzitu q_i a intenzity prechodu q_{ij} zo stavu i do stavu j podľa Vety 3.3 v [1].

Definícia 2. *Nech $i, j \in S$ potom*

$$q_i := \lim_{h \rightarrow 0_+} \frac{1 - p_{ii}(h)}{h}$$

pre každé $i, j \in S$, $i \neq j$ potom

$$q_{ij} := \lim_{h \rightarrow 0_+} \frac{p_{ij}(h)}{h}$$

a pre každé $i \in S$ platí $\sum_{j \neq i} q_{ij} \leq q_i$.

Kde $p_{ij}(h)$ sa z homogenity reťazca rovná $p_{ij}(s, s+h) = P(X_{s+h} = j | X_s = i)$, čo je pravdepodobnosť prechodu zo stavu i v čase s do stavu j v čase $s+h$. Matica $\mathbf{Q} = \{q_{ij}\}_{i,j \in S}$, kde $q_{ii} = -q_i$, sa nazýva matica intenzity. Intenzitám q_{ij} môžeme rozumieť aj ako mieru, ako rýchlo nastane skok zo stavu i do stavu j .

V praxi často chceme zistiť s akou intenzitou nastanú skoky z jedného stavu do druhého. Ale väčšinou nemáme k dispozícii úplné pozorovanie a musíme si poradiť s pozorovaniami v diskrétnom čase. V tom prípade je jednou z možností použiť EM algoritmus na zistenie intenzít. V prvej kapitole podrobne odvodíme

odhad matice intenzity pri úplnom pozorovaní a pri pozorovaní v diskrétnych časoch, kde výpočet preberáme z knihy [4]. Použijeme na to metódu maximálnej viero hodnosti. V druhej kapitole stručne opíšeme ako funguje EM algoritmus podľa [5] a ukážeme aplikáciu tohto algoritmu na odhadnutie matice intenzity, ktorú preberáme z [3]. V tretej kapitole sa zameriame na numerické príklady, ktoré budú ilustrovať vplyv veľkosti diskretizačného kroku na kvalitu odhadu matice intenzity. Uvedieme celkovo tri príklady, na ktorých prebehne výpočet. Okrem toho porovnáme aj vplyv veľkosti kroku na konvergenciu algoritmu.

Kapitola 1

Odhady matice intenzity

1.1 Maximálne vieročodný odhad matice intenzity pri úplnom pozorovaní

Majme spojity homogénny Markovský reťazec $\{X_t, t \geq 0\}$. Pomocou metódy maximálnej vieročodnosti (MLE - anglicky maximum likelihood estimation) odvodíme odhad matice intenzity pri úplnom pozorovaní Markovského reťazca. Predpokladáme, že $S = \{0, 1, \dots, m\}$ je množina stavov Markovského reťazca. Najprv potrebujeme odvodiť vieročodnostnú funkciu. K tomu nám pomôžu tvrdenia z [1] a to konkrétnie:

Veta 1. Ak $q_i = 0$, potom $p_{ii}(t) = 1$ pre všetky $t \geq 0$. Ak je $0 < q_i < \infty$, má doba, po ktorú reťazec zotrva v stave i , exponenciálne rozdelenie so strednou hodnotou $\frac{1}{q_i}$, kde $i \in S$.

Veta 2. Nech $0 < q_i < \infty$, nech τ_i je čas prvého výstupu zo stavu i . Potom

$$P(X_{\tau_i} = j | X_0 = i) = \frac{q_{ij}}{q_i} \quad i, j \in S, i \neq j, \quad (1.1)$$

tj. pravdepodobnosť, že reťazec z počiatocného stavu i prejde najprv do stavu j je rovné $\frac{q_{ij}}{q_i}$.

Z Vety 1 vieme, že reťazec, ktorý vstúpi do stavu i v určitom čase $t_0 > 0$, zotrva v i po dobu T , ktorá má exponenciálne rozdelenie s parametrom q_i a hustotou $q_i \exp\{-q_i(t_k - t_{k-1})\}$, kde $(t_k - t_{k-1})$ je doba zotrvenia v stave i . Z homogenity reťazca vieme, že rozdelenie doby zotrvenia v stave i nezávisí na okamihu, v ktorom reťazec vstúpi do stavu i , ale len na q_i . Doby zotrvenia $(t_k - t_{k-1})$ v danom stave sú nezávislé náhodné veličiny. Na odvodenie vieročodnej funkcie použijeme aj Vetu 2, podľa ktorej vieme pravdepodobnosť, s ktorou reťazec prejde najprv zo stavu i do stavu j , a tá je rovná $\frac{q_{ij}}{q_i}$.

Vytvorme funkciu:

$$G(t_k) = \begin{cases} 1, & \text{ak } X_t \neq i, \\ q_i \exp\{-q_i(t_k - t_{k-1})\}, & \text{ak } X_t = i, \end{cases}$$

kde t_k sú označené časy jednotlivých prechodov v Markovskom reťazci, X_t označuje stav Markovského reťazca v čase $t \in (t_k - t_{k-1})$ a $q_i = \sum_{j \neq i} q_{ij}$. Hodnota t_K

označuje čas posledného prechodu Markovského reťazca pred časom τ . Nesmieme zabudnúť ani na hustotu v čase $(\tau - t_K)$, tá je rovná $\exp\{-q_i(\tau - t_K)\}$, pretože v čase τ nastane prechod do iného stavu s pravdepodobnosťou 0. Pomocou funkcie $G(t_k)$ odvodíme viero hodnostnú funkciu s parametrom $\mathbf{Q} = \{q_{ij}\}$:

$$L_\tau^{(c)}(\mathbf{Q}) = \prod_{i=1}^m \prod_{k=1}^K (G(t_k) \exp\{-q_i(\tau - t_K)\}) \prod_{i=1}^m \prod_{j \neq i} \left(\frac{q_{ij}}{q_i} \right)^{N_{ij}(\tau)}, \quad (1.2)$$

kde $N_{ij}(t)$ je počet prechodov zo stavu i do stavu j v čase $[0,t]$. Exponent (c) označuje, že sa jedná o úplné pozorovanie spojitého Markovského reťazca. Označme $R_i(t)$ ako čas strávený v stave i v časovom intervale $[0,t]$:

$$R_i(t) = \int_0^t I\{X_s = i\} ds. \quad (1.3)$$

Použijeme fakt, že

$$\exp \left\{ - \sum_{j \neq i} q_{ij} R_i(\tau) \right\} = \prod_{j \neq i} \exp \{-q_{ij} R_i(\tau)\}.$$

Viero hodnostná funkcia po úprave:

$$\begin{aligned} L_\tau^{(c)}(\mathbf{Q}) &= \prod_{i=1}^m \prod_{j \neq i} q_i^{N_{ij}(\tau)} \exp \{-q_i R_i(\tau)\} \left(\frac{q_{ij}}{q_i} \right)^{N_{ij}(\tau)} \\ &= \prod_{i=1}^m \exp \left\{ - \sum_{j \neq i} q_{ij} R_i(\tau) \right\} \prod_{j \neq i} q_j^{N_{ij}(\tau)} \\ &= \prod_{i=1}^m \prod_{j \neq i} q_{ij}^{N_{ij}(\tau)} \exp \{-q_{ij} R_i(\tau)\}. \end{aligned}$$

Metódou maximálnej viero hodnosti odhadneme maticu \mathbf{Q} . Najprv zlogaritmujeme viero hodnostnú funkciu:

$$\begin{aligned} \log L_\tau^{(c)}(\mathbf{Q}) &= \log \left(\prod_{i=1}^m \prod_{j \neq i} q_{ij}^{N_{ij}(\tau)} \exp \{-q_{ij} R_i(\tau)\} \right) \\ &= \sum_{i=1}^m \sum_{j \neq i} \log \left(q_{ij}^{N_{ij}(\tau)} \exp \{-q_{ij} R_i(\tau)\} \right) \\ &= \sum_{i=1}^m \sum_{j \neq i} (N_{ij}(\tau) \log(q_{ij}) - q_{ij} R_i(\tau)) \end{aligned}$$

Položíme deriváciu $\log L_\tau^{(c)}(\mathbf{Q})$ rovnú 0, aby sme zistili $\tilde{\mathbf{Q}}$, teda maximum odhadu.

$$\frac{\partial \log L_{\tau}^{(c)}(\tilde{\mathbf{Q}})}{\partial \tilde{\mathbf{Q}}} = 0$$

$$\sum_{i=1}^m \sum_{j \neq i} \left(\frac{N_{ij}(\tau)}{\tilde{q}_{ij}} - R_i(\tau) \right) = 0$$

Po úpravách dostávame maximálne vierohodný odhad matice \mathbf{Q} :

$$\tilde{q}_{ij} = \frac{N_{ij}(\tau)}{R_i(\tau)}, \quad i \neq j$$

$$\tilde{q}_{ii} = - \sum_{j \neq i} \tilde{q}_{ij}$$

1.2 Maximálne vierohodný odhad matice intenzity pri pozorovaní v dis-krétnych časových bodoch

Bežne avšak nemáme komplettnú informáciu o Markovskom reťazci. Nevieme ako sa proces chová medzi dvoma diskrétnymi pozorovaniami a tým pádom nepoznáme ani hodnoty $R_i(t)$ a $N_{ij}(t)$. Pokial' máme k dispozícii diskrétné pozorovania stavov Markovského reťazca v jednotlivých časových bodoch $\{t_1, \dots, t_n\}$, musíme upraviť vierohodnostnú funkciu. Proces $Y_i = X_{t_i}$ je Markovský reťazec s diskrétnym časom. Budeme predpokladať, že časy, v ktorých pozorujeme stav Markovského reťazca sú ekvidistantné, to znamená $t_k - t_{k-1} = \Delta$ pre všetky $k = 1, 2, \dots, n$. Pretože sa jedná o homogénny Markovský reťazec vieme, že:

$$P(X_{t_k} = j | X_{t_{k-1}} = i) = p_{ij}(\Delta) \quad \text{pre } i, j \in S \quad \text{a } k = 1, 2, \dots, n. \quad (1.4)$$

Ďalej budeme pre jednoduchosť používať značenie $p_{ij} = p_{ij}(\Delta)$. Prenásobením všetkých pravdepodobností tých prechodov, ktoré nastali, získame vierohodnostnú funkciu pre diskrétné pozorovania:

$$L_n(\mathbf{P}) = \prod_{i=1}^m \prod_{j=1}^m p_{ij}^{K_{ij}(n)}, \quad \mathbf{P} \in \mathcal{P} \quad (1.5)$$

kde $\mathbf{P} = \{p_{ij}\}_{i,j \in S}$ je matica prechodu Markovského reťazca s rozmermi $m \times m$, \mathcal{P} označuje množinu všetkých matíc prechodu s rozmermi $m \times m$ a $K_{ij}(n)$ je pozorovaný počet prechodov zo stavu i do stavu j do času n . Podobne ako u spojitého Markovského reťazca odvodíme maximálne vierohodný odhad p_{ij} . Uvedomíme si, že naša vierohodnostná funkcia je podľa [3] rovnaká ako vierohodnostná funkcia pre m nezávislých multinomických rozdelení, a keďže $\mathbf{P} = \{p_{ij}\}_{i,j \in S}$ je stochastická matica, tak platí $\sum_{j=1}^m p_{ij} = 1$ pre $j = 1, 2, \dots, m$. Podľa [4] vypočítame maximálne vierohodný odhad p_{ij} .

Máme

$$\log L_n(\mathbf{P}) = \sum_{i=1}^m \sum_{j=1}^m K_{ij}(n) \log p_{ij}.$$

Ked'že nám ide o maximalizáciu funkcie $\sum_{i=1}^m \sum_{j=1}^m K_{ij}(n) \log p_{ij}$ pri vedľajšej podmienke $\sum_{j=1}^m p_{ij} = 1$, použijeme metódu Lagrangeových multiplikátorov. Položíme

$$f(p_{ij}, \lambda) = \sum_{i=1}^m \sum_{j=1}^m K_{ij}(n) \log p_{ij} - \lambda \left(\sum_{j=1}^m p_{ij} - 1 \right). \quad (1.6)$$

Deriváciou funkcie (1.6) podľa λ a jednotlivých p_{ij} pre $i, j = 1, 2, \dots, m$ a položením derivácie rovnej nule získame sústavu rovníc:

$$\frac{\partial f}{\partial \lambda} = 0, \quad \frac{\partial f}{\partial p_{ij}} = 0 \quad \text{pre } i, j = 1, 2, \dots, m.$$

Máme

$$\sum_{j=1}^m \tilde{p}_{ij} = 1, \quad \frac{K_{ij}(n)}{\tilde{p}_{ij}} - \lambda = 0 \quad \text{pre } i, j = 1, 2, \dots, m,$$

z čoho výpočtom dostaneme maximálne vierohodný odhad:

$$\tilde{p}_{ij} = \frac{K_{ij}(n)}{K_{\cdot\cdot}(n)} \quad \text{pre } i, j = 1, 2, \dots, m, \quad (1.7)$$

kde

$$K_{\cdot\cdot}(n) = \sum_{j=1}^m K_{ij}(n).$$

Nech $\tilde{\mathbf{P}} = \{\tilde{p}_{ij}\}$ pre $i, j = 1, 2, \dots, m$. V prípade, že máme odhad \tilde{p}_{ij} môžeme použiť Vety 3.10 a 3.11 z [1], ktoré nám dávajú do súvislosti pravdepodobnosti prechodu a intenzity prechodu. Vieme tým pádom z matice prechodu $\tilde{\mathbf{P}}$ z invertovaním vypočítať odhad matice intenzity $\tilde{\mathbf{Q}}$ pomocou nasledujúceho vzorca:

$$\mathbf{P} = e^{\mathbf{Q}\Delta} \quad (1.8)$$

Definujme množinu matíc prechodu, ktoré sa zhodujú s diskrétnymi pozorovaniami spojitého Markovského procesu:

$$\mathcal{P}_0 = \{\exp(\mathbf{Q}) | \mathbf{Q} \in \mathcal{Q}\}, \quad (1.9)$$

kde \mathcal{Q} je množina všetkých matíc intenzít. Predpokladajme, že vypočítame $\tilde{\mathbf{P}}$ podľa rovnice (1.7) založené na diskrétnych pozorovaniach spojitého Markovského reťazca. Ak $\tilde{\mathbf{P}} \in \mathcal{P}_0$ potom existuje $\tilde{\mathbf{Q}} \in \mathcal{Q}$ také, že splňuje $\exp(\tilde{\mathbf{Q}}\Delta) = \tilde{\mathbf{P}}$ a vierochnostná funkcia nadobúda svoju maximálnu hodnotu v $\tilde{\mathbf{Q}}$, čo je tým pádom maximálne vierochný odhad. Avšak situácia je zložitejšia. Jednak množina \mathcal{P}_0 je veľmi komplikovaná a navyše matica exponenciály nie je prostá funkcia na celom svojom definičnom obore. Výpočet $\tilde{\mathbf{Q}}$ pomocou (1.8) preto nemusí byť jednoznačný a teda nemusí sa jednať o maximálne vierochný odhad. Ak $\tilde{\mathbf{P}} \notin \mathcal{P}_0$, situácia je nejasná kvôli komplikovanej štruktúre \mathcal{P}_0 . Bližšia diskusia ohľadom existencie a jednoznačnosti maximálneho vierochného odhadu sa nachádza v článku [3]. My sa touto cestou nevydáme, namiesto toho použijeme EM algoritmus v ďalšej kapitole na výpočet odhadu matice intenzity $\tilde{\mathbf{Q}}$.

Kapitola 2

EM algoritmus

2.1 O algoritme

V nasledujúcej kapitole stručne opíšeme všeobecný EM algoritmus a potom ho aplikujeme na nás konkrétny problém. EM (anglicky Expectation-Maximization) algoritmus je iteračná metóda na hľadanie odhadov parametrov maximálnej vierochnosti z množiny dát, ktorá je neúplná alebo má chýbajúce hodnoty. Majme k dispozícii pozorované (neúplné) data y , s odpovedajúcou hustotou $p(y|\theta)$, ktoré čiastočne opisujú úplné data x s hustotou $p(x|\theta)$ (viď [5]).

Našim cieľom bude nájsť maximálne vierochný odhad θ .

$$\hat{\theta}_{MLE} = \arg \max_{\theta \in \Theta} p(y|\theta) \quad (2.1)$$

Θ označuje parametrický priestor. Často je jednoduchšie vypočítať θ , ktoré maximalizuje log-vierochnostnú funkciu.

$$\hat{\theta}_{MLE} = \arg \max_{\theta \in \Theta} \log p(y|\theta) \quad (2.2)$$

Ked'že logaritmus je monotónna rastúca funkcia, (2.1) má rovnaké riešenie ako (2.2). Avšak niekedy je ťažké vypočítať (2.2) i (2.1). Vtedy môžeme skúsiť EM algoritmus. Na to, aby sme ho mohli použiť potrebujeme mať nejaké napozorované dátá y s hustotou $p(y|\theta)$, určitý opis kompletívnych dát x , ktoré chceme mať s ich hustotou $p(x|\theta)$. Predpokladáme, že kompletívne dátá môžu byť modelované ako spojity náhodný vektor X s hustotou $p(x|\theta)$, kde $\theta \in \Theta$. Najprv spravíme odhad kompletívnych dát X , následne zmaximalizujeme očakávanú log-vierochnostnú funkciu X podľa θ a získame nový odhad, vďaka ktorému môžeme lepšie odhadnúť dátá X . Ďalej pokračujeme iterovaním.

Podľa [5] môžeme EM algoritmus zhrnúť v piatich krokoch:

Krok 1: Nech $m = 0$ a zvoľme prvotný odhad $\theta^{(m)}$ pre θ .

Krok 2: Máme napozorované dátá y a predpokladajme, že odhad $\theta^{(m)}$ je správny. Zformulujme podmienení pravdepodobnostnej hustoty $p(x|y, \theta^{(m)})$ pre úplné data x .

Krok 3: Pomocou podmienenej pravdepodobnostnej hustoty $p(x|y, \theta^{(m)})$ z kroku 2 zformulujeme podmienení očakávanú log-vierochnostnú funkciu nazývanú Q -funkciou:

$$Q(\theta|\theta^{(m)}) = \int_{\chi(y)} \log p(x|y,\theta^{(m)}) dx \quad (2.3)$$

$$= E_{X|y,\theta^{(m)}} \log p(X | \theta), \quad (2.4)$$

kde $\chi(y)$ je uzáver množiny $\{x \mid p(x|y,\theta) > 0\}$ a predpokladáme, že $\chi(y)$ nezávisí na θ .

Krok 4: Nájdeme θ , ktoré maximalizuje Q -funkciu z (2.3). Výsledkom je nový odhad $\theta^{(m+1)}$.

Krok 5: Nech $m := m + 1$ a pokračujme znova od kroku 2. EM algoritmus po- kračuje iterovaním, až kým pre nejaké stanovené $\epsilon > 0$ nastane

$\|\theta^{(m+1)} - \theta^{(m)}\| < \epsilon$, vid' [5]. Zvolením ϵ určíme kedy sa algoritmus zastaví.

Podľa [5], EM algoritmus zaručuje, že odhad $\theta^{(m+1)}$ nikdy nebude menej pravdepodobný ako odhad $\theta^{(m)}$. Algoritmus zvyčajne nájde maximum, ale nezaručuje, že sa bude jednať o globálne maximum. Jednoducho sa dá EM algoritmus rozložiť na dve časti **E-krok**(anglicky expectation), patria sem kroky 2 a 3 a **M-krok**(anglicky maximization, krok 4).

E-krok: Pomocou odhadu $\theta^{(m)}$ z predošej iterácie algoritmu spočítame $Q(\theta|\theta^{(m)})$ z (2.3).

M-krok: Odhad $(m + 1)$ získame maximalizáciou Q -funkcie podľa parametru θ :

$$\theta^{(m+1)} = \arg \max_{\theta \in \Theta} Q(\theta|\theta^{(m)}). \quad (2.5)$$

Ked'že E-krok je počítanie Q -funkcie, ktorá sa použije v M-kroku, EM algoritmus môžeme charakterizovať ako iteračný proces počítajúci M-krok. Pri implementovaní EM algoritmu je dobré vziať na vedomie, že nie je treba zakaždým počítať časti Q -funkcie, ktoré nezávisia na θ . Urýchli sa tým výpočtový proces.

2.2 Aplikácia algoritmu na hľadanie odhadu matice intenzity

Pre spojity Markovský reťazec $\{X_t, 0 \leq t \leq \tau\}$, ktorý pozorujeme v diskrétnych časoch $t_i, i = 1, \dots, n$, je vhodné použiť EM algoritmus na hľadanie maximálne vierochného odhadu matice intenzity. Nech $t_1 = 0, t_n = \tau$, kde τ je čas, v ktorom poslednýkrát pozorujeme v akom stave sa reťazec nachádza a \mathbf{Q}_0 je daná matica intenzít. Podľa **E-kroku** treba nájsť

$$\begin{aligned} \mathbb{E}_{\mathbf{Q}_0}[\log L_{\tau}^{(c)}(\mathbf{Q}) | \mathbf{Y} = y] &= \sum_{i=1}^m \sum_{j \neq i} \log(q_{ij}) \mathbb{E}_{\mathbf{Q}_0}[N_{ij}(\tau) | \mathbf{Y} = y] - \\ &\quad - \sum_{i=1}^m \sum_{j \neq i} q_{ij} \mathbb{E}_{\mathbf{Q}_0}[R_i(\tau) | \mathbf{Y} = y], \end{aligned} \quad (2.6)$$

kde $\mathbf{Y} = \{Y_i | i = 1, \dots, n\}$ a zložky vektora \mathbf{Y} sú pozorované stavy Markovského reťazca v jednotlivých časoch $Y_i = X_{t_i}$. Jedná sa o očakávanú hodnotu log-

vierohodnostnej funkcie, ktorú maximalizujeme (**M-krok**) ako funkciu s parametrom \mathbf{Q} . Z markovskej vlastnosti a homogenity reťazca nám stačí podľa [3] nájsť očakávanú hodnotu $R_k(t)$ a očakávanú hodnotu $N_{kl}(t)$ za podmienky, že v čase 0 proces začína v stave i a v čase t je v stave j . Označíme si ich

$$\tilde{M}_{ij}^k(t) = \mathbb{E}_{\mathbf{Q}_0}[R_k(t)|X_t = j, X_0 = i], \quad (2.7)$$

$$\tilde{f}_{ij}^{kl}(t) = \mathbb{E}_{\mathbf{Q}_0}[N_{kl}(t)|X_t = j, X_0 = i], \quad (2.8)$$

Stačí vypočítať $\tilde{M}_{ij}^k(t)$ a $\tilde{f}_{ij}^{kl}(t)$, pretože platí

$$\mathbb{E}_{\mathbf{Q}_0}[N_{ij}(t)|\mathbf{Y} = y] = \sum_{k=1}^{n-1} \tilde{f}_{y_k, y_{k+1}}^{ij}(t_{k+1} - t_k), \quad (2.9)$$

$$\mathbb{E}_{\mathbf{Q}_0}[R_l(\tau)|\mathbf{Y} = y] = \sum_{k=1}^{n-1} \tilde{M}_{y_k, y_{k+1}}^l(t_{k+1} - t_k). \quad (2.10)$$

Uvedieme zjednodušený výpočet (2.7) a (2.8). Detailnejší postup je popísaný v [3]. Zvolíme $\lambda \geq \max_{i=1, \dots, m}(-q_{ii})$ a definujme maticu \mathbf{B} , ktorú použijeme pri výpočte $M_{ij}^k(t)$.

$$\mathbf{B} = \mathbf{I} + \frac{1}{\lambda} \mathbf{Q} = \frac{1}{\lambda} (\lambda \mathbf{I} + \mathbf{Q}),$$

kde \mathbf{I} je jednotková matica. Takto definovaná matica \mathbf{B} je stochastická matica. Označme $\mathbf{M}^k = \{M_{ij}^k(t)\}_{i,j \in S}$, kde

$$M_{ij}^k(t) = \mathbb{E}_{\mathbf{Q}_0}[R_k(t) I\{X_t = j\}|X_0 = i], \quad (2.11)$$

potom

$$\mathbf{M}^k(t) = \exp(-\lambda t) \lambda^{-1} \sum_{n=0}^{\infty} \frac{(\lambda t)^{n+1}}{(n+1)!} \sum_{l=0}^n \mathbf{B}^l (\mathbf{e}_k \mathbf{e}_k^T) \mathbf{B}^{n-l}, \quad (2.12)$$

kde \mathbf{e}_k je jednotkový vektor s k -tou súradnicou rovnou 1 a \mathbf{e}_k^T je jeho transpozícia. $\tilde{M}_{ij}^k(t)$ vypočítame podľa vzorca z [3]:

$$\tilde{M}_{ij}^k(t) = \frac{M_{ij}^k(t)}{\mathbf{e}_i^T \exp(\mathbf{Q}t) \mathbf{e}_j}. \quad (2.13)$$

Pomocou uniformizačnej metódy (vid' [6]) môžeme vypočítať maticu expo-nenciály:

$$\exp(\mathbf{Q}t) = \exp(-\lambda t \mathbf{I} + \lambda t \mathbf{B}) = \sum_{n=0}^{\infty} e^{-\lambda t} \frac{(\lambda t)^n}{n!} \mathbf{B}^n.$$

Podobne postupujme aj pri výpočte (2.8). Najprv uvažujme:

$$f_{ij}^{kl}(t) = \mathbb{E}_{\mathbf{Q}_0}[N_{kl}(t)I\{X_t = j\}|X_0 = i]. \quad (2.14)$$

Označme $\mathbf{f}^{kl} = \{f_{ij}^{kl}(t)\}_{ij \in S}$, potom

$$\mathbf{f}^{kl}(t) = q_{kl} \exp(-\lambda t) \lambda^{-1} \sum_{n=0}^{\infty} \frac{(\lambda t)^{n+1}}{(n+1)!} \sum_{j=0}^n \mathbf{B}^j (\mathbf{e}_k \mathbf{e}_l^T) \mathbf{B}^{n-j}. \quad (2.15)$$

Hodnotu $\tilde{f}_{ij}^{kl}(t)$ dostaneme pomocou vzorca:

$$\tilde{f}_{ij}^{kl}(t) = \frac{f_{ij}^{kl}(t)}{\mathbf{e}_i^T \exp(\mathbf{Q}t) \mathbf{e}_j}. \quad (2.16)$$

EM algoritmus na hľadanie maximálne viero hodného odhadu matice intenzity $\tilde{\mathbf{Q}}$ môžeme zhrnúť nasledovne. Nech \mathbf{Q}_0 je ktorakoľvek matica intenzity pre Markovský reťazec s množinou stavou S . Na začiatku zvolme $\mathbf{Q} := \mathbf{Q}_0$ ako nás prvotný odhad.

Krok 1: Spočítame $\tilde{M}_{y_i, y_{i+1}}^k(t_{i+1} - t_i)$ a $\tilde{f}_{y_i, y_{i+1}}^{kl}(t_{i+1} - t_i)$ pre všetky $k, l \in S$ príslušné modelu s maticou intenzity \mathbf{Q} podľa (2.13) a (2.16).

Krok 2: Spočítame $\mathbb{E}_{\mathbf{Q}}[N_{ij}(t)|\mathbf{Y} = y]$ a $\mathbb{E}_{\mathbf{Q}}[R_i(\tau)|\mathbf{Y} = y]$ (**E-krok**) pomocou (2.9) a (2.10).

Krok 3: Určíme nový odhad $\tilde{\mathbf{Q}}_{ij} = \mathbb{E}_{\mathbf{Q}}[N_{ij}(t)|\mathbf{Y} = y]/\mathbb{E}_{\mathbf{Q}}[R_i(\tau)|\mathbf{Y} = y]$ pre všetky $i \neq j$, čo je vlastne maximalizácia (**M-krok**) matice \mathbf{Q} .

Krok 4: S novým odhadom $\mathbf{Q} := \tilde{\mathbf{Q}}$ pokračujeme iteráčne znova od kroku 1, až kým $|\mathbf{Q}_{k+1} - \mathbf{Q}_k| \leq \epsilon$, kde ϵ je nami dopredu stanovená tolerancia a $\mathbf{Q}_0, \mathbf{Q}_1, \mathbf{Q}_2, \dots$ je postupnosť matíc intenzit získaných EM algoritmom.

Platí, že $L_n(\mathbf{Q}_{k+1}) \geq L_n(\mathbf{Q}_k)$ pre $k = 0, 1, 2, \dots$. Podľa [3] je vhodné zvoliť prvotný odhad matice \mathbf{Q}_0 tak, aby $\det\{\exp(\mathbf{Q}_k)\}$ bol d'aleko od 0. Ak zvolíme prvotný odhad tak, že pre nejaké $i, j \in S$ je $(\mathbf{Q}_0)_{ij} = 0$, potom očakávaný počet preskokov z i do j zostane rovný 0 cez všetky iterácie algoritmu.

2.3 Implementácia

Na naprogramovanie simulácií Markovských reťazcov a výpočtov odhadu matíc intenzít sme použili program Wolfram Mathematica 9.0. Počas výpočtu je dôležité nepočítať zbytočne výpočtovo náročné hodnoty $\tilde{M}_{y_i, y_{i+1}}^k(t_{i+1} - t_i)$ a $\tilde{f}_{y_i, y_{i+1}}^{kl}(t_{i+1} - t_i)$

viackrát. Vhodné je si výpočty $\mathbf{M}^k(t)$, $\mathbf{f}^{kl}(t)$ a $\exp(\mathbf{Q}t)$ uložiť ako maticu a k jednotlivým prvkom následne opakovane pristupovať. V opačnom prípade budeme mať algoritmus s neprijateľnou zložitosťou. Pre urýchlenie výpočtu sme sumy (2.12) a (2.15) počítali iba do určitého n , pri ktorom sa nám hodnota sumy už prakticky nemenila. Pri výpočte je takisto vhodné zvoliť prvotný odhad \mathbf{Q}_0 tak, aby matica exponenciály \mathbf{Q}_0 obsahovala iba reálne čísla, inak pravdepodobne náš algoritmus nezvládne vypočítať odhad matice intenzity. Ako prvotný odhad sa nám osvedčilo použiť maticu intenzity, ktorá má mimo diagonály samé jednotky. Výpočtová zložitosť nášho algoritmu je pre 1 iteráciu podľa [7] rovná $O(r \cdot d^5)$, kde r je počet vybraných diskrétnych časov t_k a d je počet stavov Markovského reťazca.

Kapitola 3

Numerické príklady použitia EM algoritmu

V tejto kapitole budeme na troch numerických príkladoch ilustrovať vplyv dĺžky času simulácie spojitého Markovského reťazca a zároveň vplyv veľkosti diskretizačného kroku na kvalitu odhadu matice intenzity. Pozrieme sa tiež na rýchlosť konvergencie EM algoritmu. Naše dátá budú pochádzať zo simuláciej spojitéh Markovských reťazcov $\{X_t, 0 \leq t \leq T\}$ s piatimi, štyrmi a šiestimi stavmi, ktoré obsahujú kompletnú informáciu o chovaní Markovského reťazca. Z týchto reťazcov získame nekompletné pozorovania $\mathbf{Y} = \{y_0 = X_{t_0}, \dots, y_N = X_{t_N}\}$ tým, že na základe daných diskretizačných krokov $t_{k+1} - t_k = \Delta_j$ vyberieme, v ktorom stave sa v danom čase nachádza Markovský reťazec. Δ_j sú rôzne diskretizačné kroky pre $j = 1, 2, \dots$. Postupne aplikujeme EM algoritmus na simulované Markovské reťazce s danou maticou intenzity \mathbf{Q} pre časy $T = 100, 250, 500, 10^3, 10^4, 10^5$ a u jednotlivých časoch použijeme rôzne diskretizačné kroky, konkrétnie v prvom príklade $t_{k+1} - t_k = \{1, \frac{1}{2}, \frac{1}{4}, \frac{1}{8}\}$, v druhom $t_{k+1} - t_k = \{1, \frac{1}{10}, \frac{1}{100}\}$ a posledného $t_{k+1} - t_k = \{\frac{1}{2}, \frac{1}{4}, \frac{1}{8}, \frac{1}{16}\}$. Zdôvodníme aj prečo sme ich takto vybrali. Pre jednotlivé príklady zvolíme na začiatku prvotný odhad \mathbf{Q}_0 pre všetky diskretizačné kroky. EM algoritmus necháme bežať doveddy, kým maximálna zmena prvkov matice \mathbf{Q}_{k+1} oproti matici predchádzajúcej iterácii \mathbf{Q}_k bude väčšia ako $\epsilon = 10^{-6}$ alebo počet iterácií algoritmu dosiahne hodnotu 500. Zvolili sme toto obmedzenie, pretože sa môže stať, že EM algoritmus nebude konvergovať alebo počet iterácií nutný na konvergenciu bude neakceptovateľne veľký. Obzvlášť oceníme túto voľbu pri použití diskretizačného kroku $t_{k+1} - t_k = 1$, kde nám algoritmus často nekonverguje ani po 1000 iteráciách.

3.1 Príklad 1

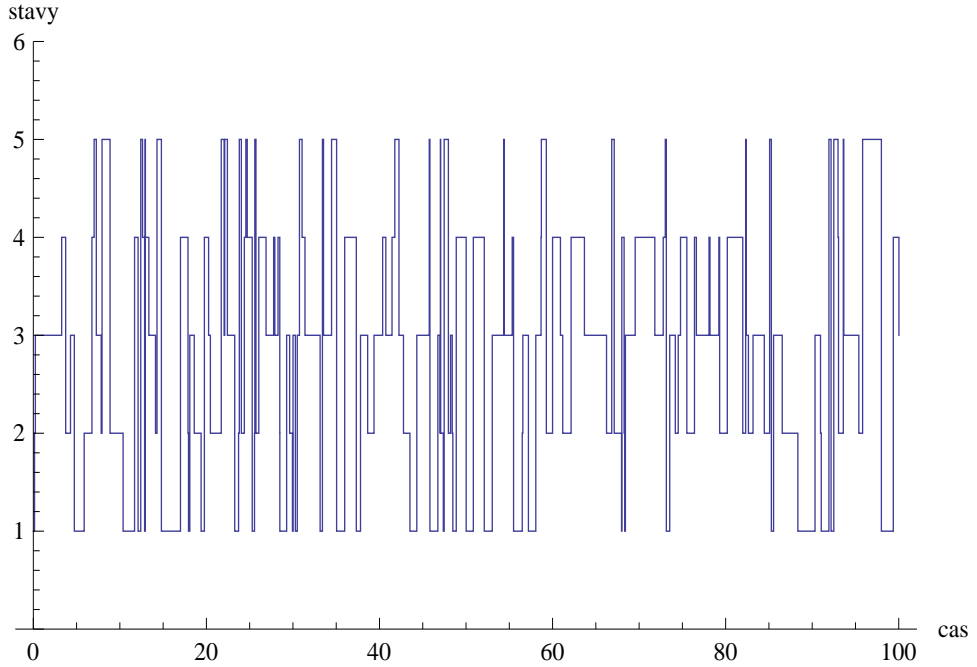
Uvažujme maticu intenzity $L1$:

$$L_1 = \begin{pmatrix} -1.5 & 0.2 & 0.8 & 0.25 & 0.25 \\ 0.5 & -2 & 0.7 & 0.3 & 0.5 \\ 0.1 & 0.6 & -1 & 0.2 & 0.1 \\ 0.4 & 0.2 & 0.7 & -1.5 & 0.2 \\ 0.5 & 0.9 & 0.8 & 0.5 & -2.7 \end{pmatrix}. \quad (3.1)$$

Nasimulujeme priebeh spojitého Markovského reťazca pre interval $[0, 100]$ s ma-

ticou intenzity L_1 , vid' Obr.3.1. Pre väčšie časové realizácie sú obrázky neprehľadné a preto ich nebudeme zobrazovať.

Obr. 3.1: Simulácia spojitého Markovského reťazca s maticou intenzity L_1 v čase $T = 100$.



Naše dátá sú stavy tohto procesu v ekvidistančných časoch s diskretizačným krokom $t_{k+1} - t_k = 1$. Označme $\hat{Q}_{EM}(T, t_{k+1} - t_k)$ maticu, ktorá vznikla po aplikácii EM algoritmu na dátá s časovou realizáciou T a diskretizačným krokom $t_{k+1} - t_k$. EM algoritmus nám nekonvergoval ani po 500 iteráciách, preto sme výpočet ukončili a výsledok po 500 iteráciách, ktoré trvali 498 sekúnd, bol nasledovný:

$$\hat{Q}_{EM}(100,1) = \begin{pmatrix} -0.82289 & 0.00977 & 0.30954 & 3.768 \times 10^{-18} & 0.50358 \\ 0.58449 & -1.40824 & 0.54508 & 0.27868 & 1.627 \times 10^{-39} \\ 0.08306 & 0.55255 & -0.983 & 0.24247 & 0.10492 \\ 4.399 \times 10^{-6} & 1.15394 & 0.96177 & -2.46576 & 0.35004 \\ 0.60824 & 5.446 \times 10^{-10} & 0.73691 & 0.86952 & -2.21466 \end{pmatrix}.$$

Ked' porovnáme výslednú maticu s maticou (3.1) vidíme, že EM algoritmus neaproximuje maticu intenzity ani zd'aleka. Chyba počítaná cez euklidovu normu $\| L_1 - \hat{Q}_{EM}(100,1) \|$ je 1.8064. Hodnoty chyby odhadu, počítanú cez euklidovu normu pre časy $T = 100, 250, 500, 10^3, 10^4, 10^5$ a diskretizačné kroky $1, \frac{1}{2}, \frac{1}{4}, \frac{1}{8}$ nájdeme v Tabuľke 3.1.

Z hodnôt v tabuľke vyplýva, že pre čas $T = 100$ sa so zjemňujúcim sa diskretizačným krokom zmenšuje chyba odhadu, avšak trend nie je spočiatku úplne jednoznačný. Konkrétnie pre diskretizačný krok $\frac{1}{8}$ a čas $T = 100$ nám algoritmus konverguje po 29 iteráciách, ale chyba oproti pôvodnej matici je väčšia ako pri diskretizačnom kroku $\frac{1}{4}$, a to 1.04 oproti 0.907. Avšak v dostatočnom počte dát, napríklad pre časy $T = 10^4, 10^5$, je trend jasne klesajúci. Matica pre $T = 100$ a $t_{k+1} - t_k = \frac{1}{8}$ vyšla vid' (3.2).

Tabuľka 3.1: Závislosť dĺžky časovej realizácie T a veľkosti diskretizačných krokov na veľkosť chyby počítanej cez euklidovu normu $\| L_1 - \hat{Q}_{EM}(T, t_{k+1} - t_k) \|$.

T	Diskretizačný krok			
	1	$\frac{1}{2}$	$\frac{1}{4}$	$\frac{1}{8}$
100	1.806	1.250	0.907	1.040
250	1.040	0.764	0.706	0.575
500	2.073	0.733	0.562	0.526
1 000	2.153	0.523	0.594	0.405
10 000	0.337	0.219	0.162	0.108
100 000	0.124	0.055	0.050	0.043

$$\hat{Q}_{EM}(100, \frac{1}{8}) = \begin{pmatrix} -0.91045 & 0.03815 & 0.51095 & 0.05769 & 0.30367 \\ 0.80226 & -2.20197 & 0.62996 & 0.48848 & 0.28127 \\ 0.09248 & 0.63594 & -1.32178 & 0.33769 & 0.25567 \\ 0.44212 & 0.45466 & 1.22981 & -2.19496 & 0.06837 \\ 0.22628 & 1.34485 & 0.53097 & 0.81462 & -2.91672 \end{pmatrix}. \quad (3.2)$$

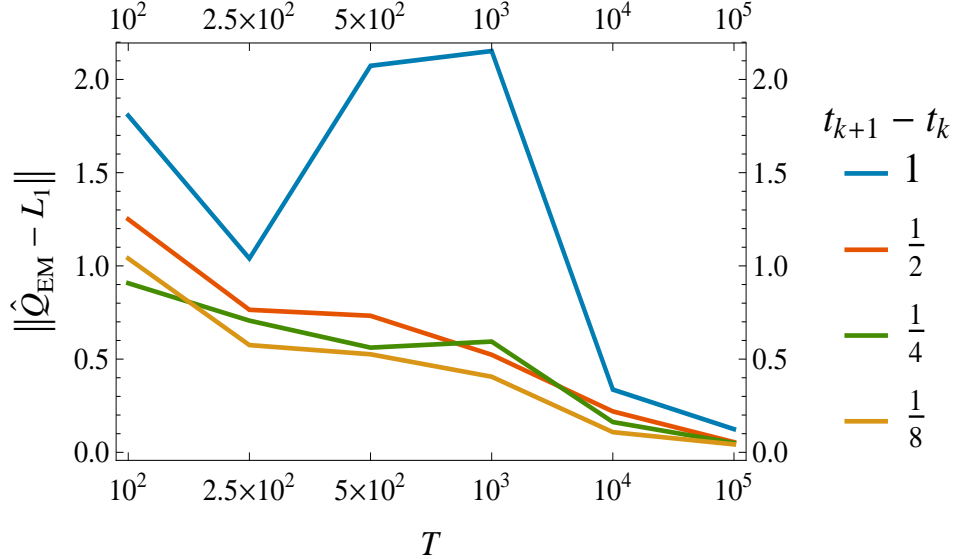
Od pôvodnej matice intenzity má však takisto ďaleko. Môže to byť spôsobené tým, že počet dát pre $T = 100$ nie je dostačujúci ani pre približnú approximáciu, pretože daná realizácia Markovského reťazca neobsahuje dostatok informácií v dátach pre presnú approximáciu pomocou EM algoritmu. Naopak pre $T = 10^5$ a diskretizačný krok $\frac{1}{8}$ nám vyšla chyba odhadu iba 0.043, čo naznačuje, že náš odhad bude veľmi presný. EM algoritmus konvergoval po 16 iteráciách, ktoré trvali približne 110 minút. Matica tohto odhadu vyzerá následovne:

$$\hat{Q}_{EM}(10^5, \frac{1}{8}) = \begin{pmatrix} -1.50676 & 0.19823 & 0.81109 & 0.24913 & 0.2483 \\ 0.50884 & -2.02733 & 0.71623 & 0.30367 & 0.4986 \\ 0.097155 & 0.60977 & -1.00714 & 0.20313 & 0.09708 \\ 0.3923 & 0.20153 & 0.69534 & -1.48374 & 0.19458 \\ 0.48135 & 0.89586 & 0.79247 & 0.49463 & -2.66431 \end{pmatrix}. \quad (3.3)$$

Ked' porovnáme maticu (3.3) s maticou (3.1), vidíme, že naša matica approximuje pôvodnú matice intenzity celkom presne. Grafické znázornenie závislosti kvality odhadu, dĺžky času a veľkosti diskretizačného kroku, v ktorom sme simulovali Markovský reťazec môžeme vidieť na Obr. 3.2.

Z obrázka vidíme, že na kvalitu odhadu matice intenzity má najväčší vplyv počet empirických pozorovaní. Po pár spustených EM algoritmov sme zistili, že počet empirických pozorovaní a takisto počet stavov Markovského reťazca ovplyvňujú rýchlosť konvergencie. Na porovnanie rýchlosť konvergencie sa nám bude hodíť nasledujúca tabuľka (Tabuľka 3.2), kde pre jednotlivé časy a diskretizačné kroky je počet iterácií, pri ktorom EM algoritmus konverguje a vedľa toho čas, za ktorý sa tak stalo.

Obr. 3.2: Veľkosť chyby odhadu matice intenzity v závislosti na diskretizačnom kroku a dĺžke časovej realizácie Markovského reťazca.

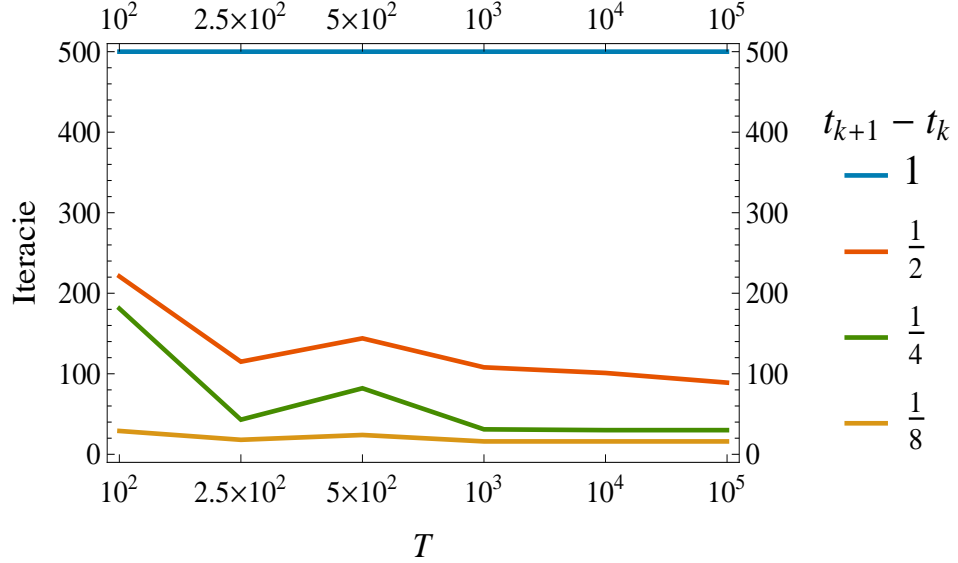


Tabuľka 3.2: Závislosť dĺžky časovej realizácie T a veľkosti diskretizačných krovok na rýchlosť konvergencie z hľadiska počtu iterácií a času trvania algoritmu v sekundách.

T	Diskretizačný krok											
	Iterácie	1	Čas	Iterácie	$\frac{1}{2}$	Čas	Iterácie	$\frac{1}{4}$	Čas	Iterácie	$\frac{1}{8}$	Čas
100	500	498s		221	229s		181	216s		29	44s	
250	500	541s		115	142s		43	65s		18	40s	
500	500	573s		144	206s		82	155s		24	72s	
1 000	500	653s		108	208s		31	90s		16	80s	
10 000	500	2 092s		101	1 090s		30	651s		16	718s	
100 000	500	16 255s		89	8 814s		30	5 781s		16	6 631s	

Z Tabuľky 3.2 vyplýva, že rýchlosť konvergencie silno závisí na počte dát a diskretizačnom kroku. Obzvlášť je zaujímavé pozorovanie, ako so zjemňujúcim sa diskretizačným krokom sa predlžuje dĺžka výpočtu jednej iterácie, avšak počet iterácií nutný na konvergenciu EM algoritmu sa naopak znižuje. Takisto môžeme z Tabuľky 3.2 usudzovať, že so zvyšujúcim sa počtom dát klesá počet iterácií nutný na konvergenciu EM algoritmu. Celkový čas výpočtu sa so zjemňujúcim sa diskretizačným krokom zvyčajne zmenšuje, ale podľa dát v tabuľke sa tak deje iba do určitého kroku. Pre časy $T = 10^4, 10^5$ sa od kroku $\frac{1}{4}$ opäť zvyšuje. Pri výpočtoch s $t_{k+1} - t_k = 1$ nám algoritmus nekonvergoval ani po 500 iteráciach. Na čo najrýchlejšiu konvergenciu algoritmu je z údajov v tabuľke vhodné použiť menší diskretizačný krok. Ďalej si môžeme všimnúť, ako sa až na čas $T = 500$, so zvyšujúcim sa časom zmenšuje počet iterácií nutný na konvergenciu algoritmu. Môžeme to vidieť aj na Obr. 3.3.

Obr. 3.3: Počet iterácií nutný na konvergenciu algoritmu v závislosti na diskretnozákladnom kroku a dĺžke časovej realizácie Markovského reťazca.



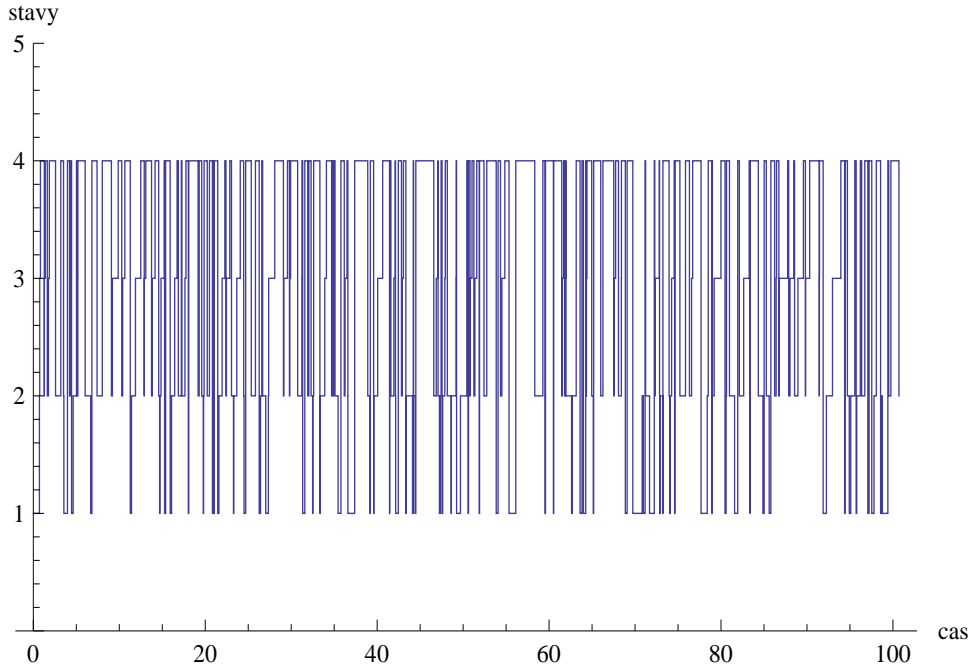
3.2 Príklad 2

V tejto sekcií ukážeme, že EM algoritmus funguje aj v iných príkladoch, ktoré majú intenzity rovné 0 alebo sú rovné celým číslam. Majme maticu intenzity L_2 :

$$L_2 = \begin{pmatrix} -5 & 2 & 0 & 3 \\ 1 & -4 & 2 & 1 \\ 0 & 0 & -3 & 3 \\ 1 & 2 & 0 & -3 \end{pmatrix}. \quad (3.4)$$

Podobne ako v Príklade 3.1 nasimulujeme kompletný priebeh spojitého Markovského reťazca pre interval $[0,100]$, vid' 3.4. Obr. 3.4 má oproti Obr. 3.1 väčší počet skokov z jedného stavu do druhého. Je to spôsobené väčšími intenzitami. V tomto príklade nám pre diskretizačné kroky $t_{k+1} - t_k = \{1, \frac{1}{2}, \frac{1}{4}\}$ často nekonvergoval algoritmus ani po 500 iteráciach. Preto sme zvolili nové $t_{k+1} - t_k = \{1, \frac{1}{10}, \frac{1}{100}\}$ na porovnanie kvality odhadu matice intenzity. V krokoch $\frac{1}{10}$ a $\frac{1}{100}$ už algoritmus zvyčajne konvergoval. Pre vyššie intenzity odporúčame voliť jemnejšie diskretizačné kroky, pretože so zvyšujúcimi sa intenzitami sa zvýši aj frekvencia preskokov z jedného stavu do druhého. Pri zvolení príliš veľkého kroku je možné, že naše dátá nebudú obsahovať určité preskoky, ktoré nastali medzi časmi t_k a t_{k+1} , čo samozrejme ovplyvní kvalitu odhadu. EM algortimus sme spustili pre časy $T = 100, 250, 500, 10^3, 10^4$. Výpočet pre čas $T = 10^5$ sme vyniechali, pretože dĺžka výpočtu pre krok $\frac{1}{100}$ by bola neprimerane dlhá.

Obr. 3.4: Simulácia spojitého Markovského reťazca s maticou intenzity L_2 v čase $T = 100$.



Pre čas $T = 100$ a krok 1 nám EM algoritmus nekonvergoval ani po 500 iteráciach, výpočet sme ukončili a vyšla nám matica (3.5).

$$\hat{Q}_{EM}(100,1) = \begin{pmatrix} -1.4799 & 0.66269 & 0.00615 & 0.81105 \\ 1.01454 & -2.51115 & 1.25851 & 0.2381 \\ 3.414 \times 10^{-10} & 0.03081 & -2.73825 & 2.70744 \\ 5.487 \times 10^{-7} & 1.88576 & 0.07915 & -1.96491 \end{pmatrix}. \quad (3.5)$$

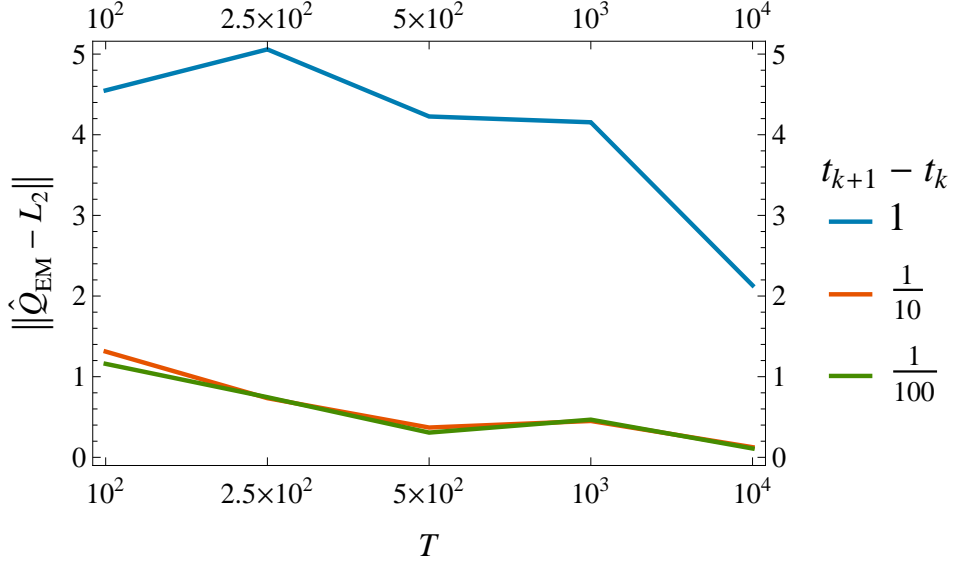
Táto matica má od pôvodnej matice intenzity d'aleko. Ukazuje to aj hodnota chyby počítanej cez euklidovu normu, ktorá sa rovná 4.54962. Uvedieme Tabuľku 3.3, ktorá obsahuje chyby odhadu matice, podobne ako v Príklade 3.1.

Tabuľka 3.3: Závislosť dĺžky časovej realizácie T a veľkosti diskretnizačných krokov na veľkosť chyby počítanej cez euklidovu normu $\| L_2 - \hat{Q}_{EM}(T, t_{k+1} - t_k) \|$.

T	Diskretnizačný krok		
	1	$\frac{1}{10}$	$\frac{1}{100}$
100	4.549	1.312	1.159
250	5.058	0.734	0.746
500	4.226	0.369	0.307
1 000	4.154	0.451	0.467
10 000	2.133	0.126	0.110

Znova z Tabuľky 3.3 a Obr. 3.5 vidíme, že kvalita odhadu matice intenzity je priamo úmerná počtu dát. Z minulého príkladu sme zistili, že s jemnejším diskretnizačným krokom je náš odhad matice kvalitnejší. Pre kroky 1 a $\frac{1}{10}$ to rozhodne platí aj v tomto prípade. Pre kroky $\frac{1}{10}$ a $\frac{1}{100}$ to neplatí vždy, i keď to môže byť

Obr. 3.5: Veľkosť chyby odhadu matice intenzity v závislosti na diskretizačnom kroku a dĺžke časovej realizácie Markovského reťazca.



spôsobené nedostatočným počtom dát. Pre $T = 10^5$, by sme rozhodne očakávali, že chyba odhadu bude menšia v kroku $\frac{1}{100}$ ako u kroku $\frac{1}{10}$. Vo výpočte pre čas $T = 10^4$ a krok $\frac{1}{100}$ nám vyšla matica (3.6).

$$\hat{Q}_{EM}(10^4, \frac{1}{100}) = \begin{pmatrix} -5.03957 & 1.98173 & 1.006 \times 10^{-21} & 3.05784 \\ 1.01006 & -4.05722 & 2.04218 & 1.00498 \\ 8.672 \times 10^{-8} & 5.427 \times 10^{-7} & -2.93541 & 2.93541 \\ 0.98328 & 1.98586 & 0.00002 & -2.96917 \end{pmatrix}. \quad (3.6)$$

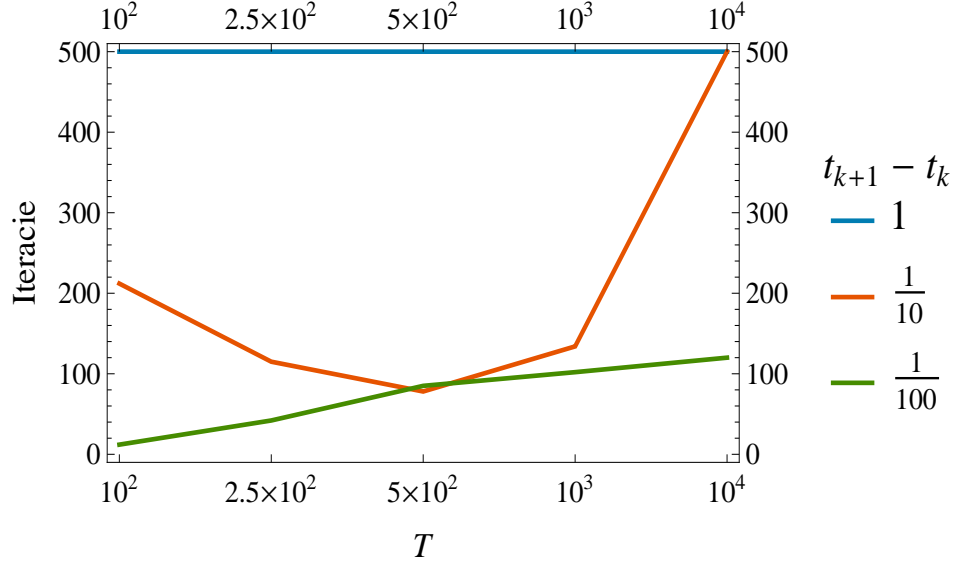
Matica (3.6) sa už veľmi podobá na našu pôvodnú maticu intenzity o čom svedčí aj veľkosť chyby, ktorá je rovná 0.11. Porovnáme rýchlosť konvergencie algoritmu.

Tabuľka 3.4: Závislosť dĺžky časovej realizácie T a veľkosti diskretizačných krovkov na rýchlosť konvergencie z hľadiska počtu iterácií a času trvania algoritmu v sekundách.

T	Diskretizačný krok					
	$\frac{1}{1}$		$\frac{1}{10}$		$\frac{1}{100}$	
	Iterácie	Čas	Iterácie	Čas	Iterácie	Čas
100	500	187s	212	136s	12	42s
250	500	212s	115	121s	42	335s
500	500	239s	78	138s	85	1 362s
1 000	500	284s	134	436s	102	3 200s
10 000	500	1 134s	500	15 921s	120	42 554s

Z Tabuľky 3.4 a Obr. 3.6 môžeme pozorovať, že znova ako v Príklade 3.1 nám algoritmus pri kroku 1 nekonverguje ani po 500 iteráciach. So zvyšujúcim sa počtom dát sa logicky zvyšuje aj čas potrebný na výpočet. Ďalej môžeme

Obr. 3.6: Počet iterácií nutný na konvergenciu algoritmu v závislosti na diskretizačnom kroku a dĺžke časovej realizácie Markovského reťazca.



pozorovať ako sa pre krok $\frac{1}{100}$ s rastúcim časom zvyšuje počet iterácií nutný na konvergenciu algoritmu a tým pádom aj čas výpočtu. Oproti Príkladu 3.1 je to opačný trend.

3.3 Príklad 3

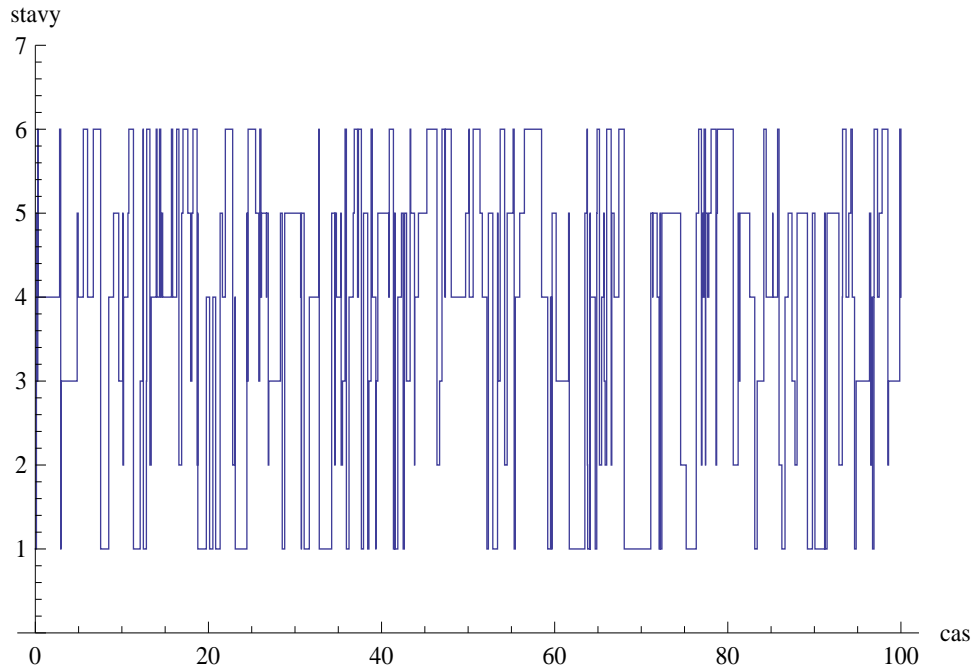
Majme maticu intenzity L_3 :

$$L_3 = \begin{pmatrix} -1.8 & 0 & 0.4 & 0.6 & 0.7 & 0.1 \\ 0.5 & -3.65 & 0.15 & 0.9 & 2 & 0.1 \\ 0 & 0.2 & -2 & 0 & 0.7 & 1.1 \\ 0.7 & 0.1 & 0 & -2.7 & 0.9 & 1 \\ 0.5 & 0.5 & 0.5 & 0.5 & -2.5 & 0.5 \\ 0.4 & 0.6 & 0 & 0.6 & 0.1 & -1.7 \end{pmatrix}. \quad (3.7)$$

Zvolili sme menšie intenzity, aby nám výpočet netrval príliš dlho. Menšie intenzity vidieť aj na Obr. 3.7, ktorý má oproti Obr. 3.4 z minulého príkladu menšiu hustotu skokov. V predchádzajúcom príklade sme pre vyššie intenzity museli použiť menšie diskretizačné kroky, aby nám algoritmus konvergoval v rozumnom čase, čo zvyšovalo aj zložitosť algoritmu. V Sekcií 2.3 sme spomenuli, že zložitosť algoritmu polynomiálne závisí na počte stavov Markovského reťazca. V tomto príklade má nás reťazec šesť stavov, čím sa výrazne zvýši zložitosť. Aj preto sme počítali odhad matice intenzity maximálne do času $T = 10^4$. Po prvom spustený výpočtu pre čas $T = 100$ a krok $\frac{1}{2}$ nám vyšla matica:

$$\hat{Q}_{EM}(100, \frac{1}{2}) = \begin{pmatrix} -1.8193 & 2.225 \times 10^{-46} & 0.0472 & 0.68667 & 1.08544 & 2.902 \times 10^{-75} \\ 2.45354 & -7.80672 & 0.05409 & 4.05 \times 10^{-19} & 3.72478 & 1.57431 \\ 0.16484 & 0.20909 & -1.68295 & 0.39374 & 0.55476 & 0.36053 \\ 0.28527 & 0.00011 & 0.53867 & -2.31472 & 0.50805 & 0.98261 \\ 0.46618 & 0.00336 & 0.33287 & 0.59456 & -2.34947 & 0.95251 \\ 0.00469 & 2.02485 & 6.566 \times 10^{-24} & 0.78495 & 0.00026 & -2.81472 \end{pmatrix}.$$

Obr. 3.7: Simulácia spojitého markovského reťazca s maticou intenzity L_3 v čase $T = 100$.



Chyba odhadu bola vysoká, a to 5.514. Znova je naša matica výrazne odlišná od pôvodnej matice intenzity (3.7). Naopak pri $T = 10^4$ a kroku $\frac{1}{16}$ je chyba odhadu 0.119 a výsledná matica sa už celkom podobá na (3.7). Ak by sme chceli väčšiu presnosť odhadu, tak musíme zvýšiť počet dát, teda predlžiť časovú realizáciu Markovského reťazca.

$$\hat{Q}_{EM}(10^4, \frac{1}{16}) = \begin{pmatrix} -1.76833 & 0.00061 & 0.39416 & 0.56368 & 0.70035 & 0.10953 \\ 0.54262 & -3.69797 & 0.17434 & 0.93032 & 1.96009 & 0.09059 \\ 0.00637 & 0.20659 & -2.06774 & 1.203 \times 10^{-6} & 0.72433 & 1.13045 \\ 0.69157 & 0.082 & 3.975 \times 10^{-8} & -2.72876 & 0.89603 & 1.05915 \\ 0.53044 & 0.51509 & 0.48226 & 0.52921 & -2.58897 & 0.53197 \\ 0.39898 & 0.59705 & 3.675 \times 10^{-6} & 0.58046 & 0.09912 & -1.67562 \end{pmatrix}.$$

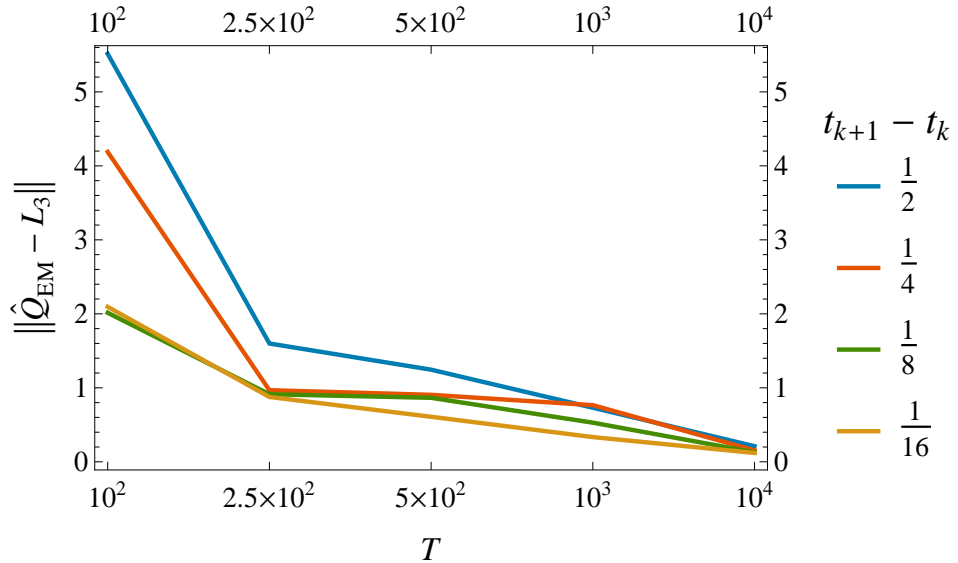
Na porovnanie závislosti počtu dát a diskretizačných krov máme Tabuľku 3.5.

Tabuľka 3.5: Závislosť dĺžky časovej realizácie T a veľkosti diskretizačných krov na veľkosť chyby počítanej cez euklidovu normu $\| L_3 - \hat{Q}_{EM}(T, t_{k+1} - t_k) \|$.

T	Diskretizačný krok			
	$\frac{1}{2}$	$\frac{1}{4}$	$\frac{1}{8}$	$\frac{1}{16}$
100	5.514	4.188	2.010	2.090
250	1.599	0.968	0.913	0.876
500	1.245	0.905	0.865	0.609
1 000	0.731	0.766	0.529	0.334
10 000	0.211	0.154	0.128	0.119

Pre rovnaké časové realizácie Markovského reťazca a rovnaké kroky sú chyby v odhade v porovnaní s Tabuľkou 3.1 v prvom príklade menšie. Pre väčšie dátu je však rozdiel chýb menší. Na Obr. 3.8 môžeme vidieť, ako sa so zjemňujúcim diskretizačným krokom znížuje aj chyba odhadu matice intenzity. Avšak na kvalitu odhadu je dôležitejšia dĺžka časovej realizácie Markovského reťazca.

Obr. 3.8: Veľkosť chyby odhadu matice intenzity v závislosti na diskretizačnom kroku a dĺžke časovej realizácie Markovského reťazca.

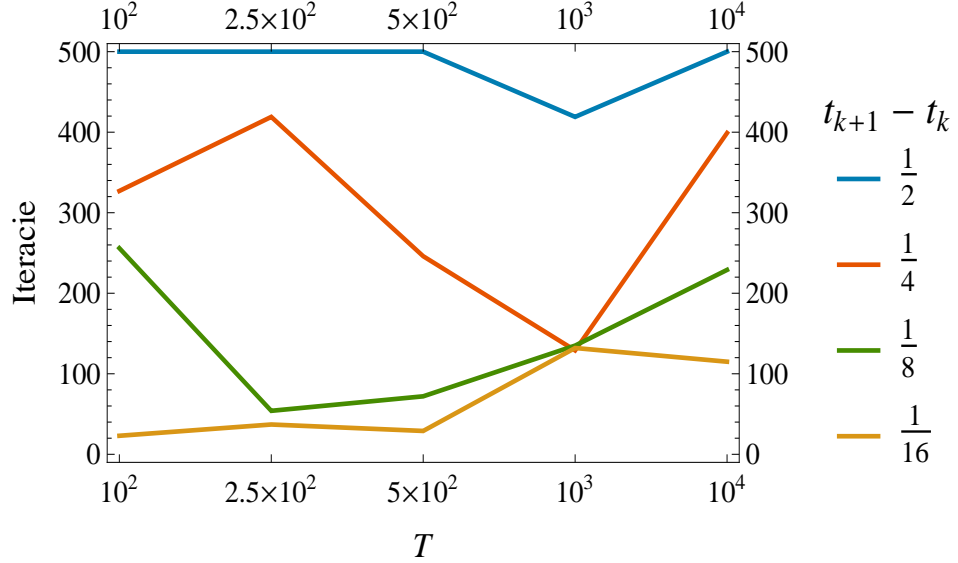


V Tabuľke 3.6 vidíme, že oproti Tabuľke 3.2 v prvom príklade potrebuje algoritmus väčší počet iterácií na konvergenciu pri tých istých diskretizačných krokoch. So zjemňujúcim krokom znova klesá počet iterácií nutný na konvergenciu. Toto pozorovanie je vidieť i na Obr. 3.9.

Tabuľka 3.6: Závislosť dĺžky časovej realizácie T a veľkosti diskretizačných krovok na rýchlosť konvergencie z hľadiska počtu iterácií a času trvania algoritmu v sekundách.

T	Diskretizačný krok								
	$\frac{1}{2}$	Iterácie	Čas	$\frac{1}{4}$	Iterácie	Čas	$\frac{1}{8}$	Iterácie	Čas
100	500	955s		327	706s		256	597s	
250	500	1 071s		419	1 028s		54	172s	
500	500	1 187s		246	731s		72	320s	
1 000	419	1 124s		129	576s		135	953s	
10 000	500	7 901s		399	12 825s		229	13 898s	

Obr. 3.9: Počet iterácií nutný na konvergenciu algoritmu v závislosti na diskretizačnom kroku a dĺžke časovej realizácie Markovského reťazca.



3.4 Zhrnutie a záver

Zhrnieme naše výsledky a pozorovania z príkladov. V priebehu výpočtov EM algoritmu sme zistili, že je dôležité vhodne zvoliť veľkosť diskretizačného kroku. Pre príliš veľké kroky algoritmus nemusí konvergovať, respektívne bude konvergovať až po extrémne veľa iteráciách. Pre príliš malé kroky zas výrazne narastá zložitosť algoritmu. U Markovských reťazcov s vyššími intenzitami prechodu nastáva skok do iného stavu v menších časových intervaloch, preto je dobré prispôsobiť aj veľkosť krovov. Zvyčajne pre reťazce s vysokými intenzitami, vid' Príklad 3.2, je vhodné zvoliť kroky veľkosti $\{\frac{1}{10}, \frac{1}{100}\}$. Pre reťazce s menšími intenzitami, vid' Príklad 3.1, môžeme zvoliť kroky veľkosti $\{\frac{1}{2}, \frac{1}{4}, \frac{1}{8}, \frac{1}{16}\}$. Diskretizačný krok $t_{k+1} - t_k = 1$ neodporúčame voliť, pretože nám ani pri jednom výpočte nekonvergoval algoritmus do hranice 500 iterácií.

Vo všetkých troch príkladoch sme pozorovali nárast kvality odhadu matice intenzity pri zjemňovaní diskretizačných krokov. Obzvlášť sa zlepšuje kvalita odhadu pri časovej realizácii $T < 10^4$. V druhom príklade, vid' Príklad 3.2, bol rozdiel medzi krokom $\frac{1}{10}$ a $\frac{1}{100}$ veľmi malý. U časoch $T = 250, 1000$ bola chyba kvality odhadu matice väčšia u $\frac{1}{100}$ v porovnaní s $\frac{1}{10}$. Môže to byť spôsobené nedostatočnou časovou realizáciou Markovského reťazca.

Najväčší vplyv na kvalitu odhadu mala dĺžka časovej realizácie Markovského procesu. Pre čas $T = 10^4$ sa chyba odhadu pohybovala okolo 10^{-1} , pre $T = 10^5$ okolo 10^{-2} .

S jemnejším diskretizačným krokom sme pozorovali, ako sa zmenšuje počet iterácií nutných na konvergenciu EM algoritmu, ale na druhej strane sa zvyšuje čas výpočtu jednej iterácie, pretože sme zvýšili počet vybraných diskrétnych pozorovaní stavov z realizácie Markovského procesu.

Literatúra

- [1] Z. Prášková and P. Lachout. *Základy náhodných procesů I.* Prvé vydanie. Matfyzpress, Praha, 2012.
- [2] Michal Kulich. *Přehledový větník, Statistika pro finanční matematiky.* 2014.
- [3] M. Bladt and Sorensen. Statistical inference for discretely observed markov jump processes. *Journal of the Royal Statistical Society, Series B*, 67(3):395–410, 2005.
- [4] J. Anděl. *Základy matematické statistiky.* Tretie vydanie. Matfyzpress, Praha, 2011.
- [5] Maya R. Gupta and Yihua Chen. Theory and use of the EM algorithm. *Foundations and Trends in Signal Processing*, 4:224–233, 2011.
- [6] Marcel F. Neuts. Algorithmic probability: a collection of problems. *Journal of Applied Mathematics and Stochastic Analysis*, 3:472, 1995.
- [7] P. Metzner, I. Horenko, and Ch. Schütte. Generator estimation of markov jump processes based on incomplete observations nonequidistant in time. *Journal of the American Statistical Association*, 2007.

Zoznam obrázkov

3.1	Simulácia spojitého Markovského reťazca s maticou intenzity L_1 v čase $T = 100$	16
3.2	Veľkosť chyby odhadu matice intenzity v závislosti na diskretizačnom kroku a dĺžke časovej realizácie Markovského reťazca.	18
3.3	Počet iterácií nutný na konvergenciu algoritmu v závislosti na dis- kretizačnom kroku a dĺžke časovej realizácie Markovského reťazca.	19
3.4	Simulácia spojitého Markovského reťazca s maticou intenzity L_2 v čase $T = 100$	20
3.5	Veľkosť chyby odhadu matice intenzity v závislosti na diskretizačnom kroku a dĺžke časovej realizácie Markovského reťazca.	21
3.6	Počet iterácií nutný na konvergenciu algoritmu v závislosti na dis- kretizačnom kroku a dĺžke časovej realizácie Markovského reťazca.	22
3.7	Simulácia spojitého markovského reťazca s maticou intenzity L_3 v čase $T = 100$	23
3.8	Veľkosť chyby odhadu matice intenzity v závislosti na diskretizačnom kroku a dĺžke časovej realizácie Markovského reťazca.	24
3.9	Počet iterácií nutný na konvergenciu algoritmu v závislosti na dis- kretizačnom kroku a dĺžke časovej realizácie Markovského reťazca.	25

Zoznam tabuliek

3.1	Závislosť dĺžky časovej realizácie T a veľkosti diskretizačných krokov na veľkosť chyby počítanej cez euklidovu normu $\ L_1 - \hat{Q}_{EM}(T, t_{k+1} - t_k) \ $.	17
3.2	Závislosť dĺžky časovej realizácie T a veľkosti diskretizačných krokov na rýchlosť konvergencie z hľadiska počtu iterácií a času trvania algoritmu v sekundách.	18
3.3	Závislosť dĺžky časovej realizácie T a veľkosti diskretizačných krokov na veľkosť chyby počítanej cez euklidovu normu $\ L_2 - \hat{Q}_{EM}(T, t_{k+1} - t_k) \ $.	20
3.4	Závislosť dĺžky časovej realizácie T a veľkosti diskretizačných krokov na rýchlosť konvergencie z hľadiska počtu iterácií a času trvania algoritmu v sekundách.	21
3.5	Závislosť dĺžky časovej realizácie T a veľkosti diskretizačných krokov na veľkosť chyby počítanej cez euklidovu normu $\ L_3 - \hat{Q}_{EM}(T, t_{k+1} - t_k) \ $.	23
3.6	Závislosť dĺžky časovej realizácie T a veľkosti diskretizačných krokov na rýchlosť konvergencie z hľadiska počtu iterácií a času trvania algoritmu v sekundách.	24